

# ОПТИМИЗАЦИОННЫЕ ЗАДАЧИ УПРАВЛЕНИЯ ПРОЦЕССАМИ РАЗДЕЛЕНИЯ

Н. Д. ДЕМИДЕНКО

*Институт вычислительного моделирования СО РАН*

*Красноярск, Россия*

e-mail: sek@icm.krasn.ru

Ю. А. ТЕРЕЩЕНКО

*Красноярский государственный технический университет, Россия*

A mathematical model for the simulation of multicomponent mixtures separation processes is suggested. The problem of the optimal control has been formulated and the necessary optimality conditions have been obtained. A numerical method for the solution of optimization problems has been developed and numerical experiments have been carried out.

## Введение

Исследование и проектирование химических технологий представляет собой сложную задачу, так как при ее постановке используются нелинейные системы дифференциальных уравнений в частных производных [1–6]. Математическая формулировка таких задач и вопросы их корректности, как правило, требуют специального рассмотрения. Трудности прежде всего связаны с нелинейностью уравнений и сложностью граничных условий, содержащих обыкновенные дифференциальные уравнения. С другой стороны, эти трудности обусловлены многомерностью задач, поскольку технологические процессы характеризуются довольно большим числом теплофизических и конструктивных параметров. Выбор эффективной методики решения задач моделирования и управления принято считать центральным вопросом в проблеме моделирования нестационарных режимов управляемых процессов разделения [7].

Основным инструментом проектирования технологических процессов и систем управления является вычислительный эксперимент, включающий в себя анализ многообразия технологических режимов, построение их физических и математических моделей, разработку и исследование вычислительных алгоритмов, их программную реализацию и проведение серии расчетов [8].

В настоящей работе формулируются и решаются задачи анализа математических моделей процессов разделения, задачи оптимального управления и численных экспериментов с целью проектирования энергосберегающих технологий разделения многокомпонентных смесей для промышленных объектов и создания соответствующих оптимальных систем управления.

# 1. Математическая модель управляемого процесса

Процесс разделения многокомпонентных смесей осуществляется в ректификационных колоннах на контактных устройствах (тарелках), распределенных по длине аппарата. Технологический процесс происходит в конечном числе точек объекта, однако его можно рассматривать непрерывным по длине, поэтому для моделирования возможно применение дифференциальных уравнений в частных производных. Оценка погрешности перехода от дискретной модели к непрерывной приведена в [1]. Концентрации целевого продукта в жидкости  $x = x(l, t)$  и паре  $y = y(l, t)$  — управляемые параметры, они определяются в результате решения соответствующей краевой задачи. Схема движения потоков взаимодействующих паровой и жидкой фаз приведена на рис. 1.

Разделяемая смесь в количестве  $F = F(t)$  с содержанием целевого продукта  $x_F = x_F(t)$  подается в среднюю часть колонны. В нижней ее части (кубе) происходит испарение смеси, и паровой поток  $V = V(l, t)$ , поднимаясь вверх, контактируя со стекающей жидкостью  $L = L(l, t)$  и обогащаясь целевым продуктом, конденсируется в верхней части колонны (дефлегматоре) и отбирается в количестве  $D$  с концентрацией целевого продукта  $x_d = x_d(t)$ . Часть сконденсированного пара  $L_d = L_d(t)$  из дефлегматора возвращается в колонну для повышения качества конечного продукта. В кубе отбирается остаток в количестве  $W = W(t)$  с содержанием целевого продукта  $x_k = x_k(t)$ .

Одним из требований к такому промышленному объекту является его способность увеличения содержания целевого продукта в верхней части колонны и уменьшения в нижней. Важными параметрами объекта являются фазовые удерживающие способности: в колонне  $H_x = H_x(l, t)$ ,  $H_y = H_y(l, t)$ , кубе  $H_{x_k} = H_{x_k}(t)$  и дефлегматоре  $H_{x_d} = H_{x_d}(t)$ . Индексы “ $x$ ” и “ $y$ ” указывают на принадлежность параметра жидкости или пару, “ $k$ ” и “ $d$ ” — кубу или дефлегматору. В колонне происходит теплообмен между жидкой и паровой средами, которые характеризуются теплосодержанием жидкости  $h = h(l, t)$  и пара  $H = H(l, t)$ ; аналогично — в кубе  $h_k = h_k(t)$ ,  $H_k = H_k(t)$  и дефлегматоре  $h_d = h_d(t)$ ,  $H_d = H_d(t)$ . В куб

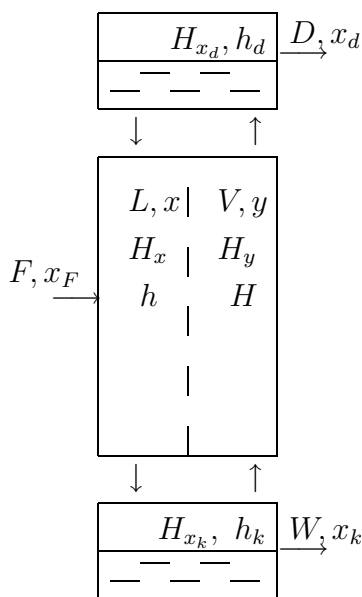


Рис. 1. Схема движения потоков пара и жидкости в колонне.

подводится тепло  $Q_k$ , а из дефлегматора оно отводится —  $Q_d$ . Коэффициент массопередачи  $k_y$  характеризует процесс массообмена между жидкой и паровой фазами, а зависимость  $y^* = y^*(x)$  — равновесную концентрацию в паре. Функции  $x(l, t)$ ,  $y(l, t)$ ,  $x_k(t)$ ,  $x_d(t)$  и  $y_d(t)$  могут быть скалярными (для бинарных смесей) или векторными (для многокомпонентных). Более подробная физическая интерпретация математической модели содержится, например, в [3].

Используя законы сохранения массы и энергии, получим математическую модель нестационарных режимов процессов разделения для колонны, куба и дефлегматора:

$$\frac{\partial(H_x x)}{\partial t} - \frac{\partial(Lx)}{\partial l} = k_y(y - y^*) + F(t)\Phi_x(l)x_F,$$

$$\frac{\partial(H_y y)}{\partial t} + \frac{\partial(Vy)}{\partial l} = k_y(y^* - y),$$

$$\frac{\partial(H_y H)}{\partial t} + \frac{\partial(H_x h)}{\partial t} - \frac{\partial(Lh)}{\partial l} + \frac{\partial(Vh)}{\partial l} = \Phi_h + \Phi_H,$$

$$\frac{\partial V}{\partial l} - \frac{\partial L}{\partial l} + \frac{\partial H_y}{\partial t} + \frac{\partial H_x}{\partial t} = \Phi_V + \Phi_L, \quad (1)$$

$$x(l, 0) = x_0(l), \quad y(l, 0) = y_0(l), \quad V(l, 0) = V_0(l), \quad L(l, 0) = L_0(l) \quad (2)$$

с граничными условиями при  $l = 0$

$$\frac{\partial(H_{x_k} x_k)}{\partial t} = L(0, t)x(0, t) - V(0, t)y(0, t) - W(t)x_k(t),$$

$$y(0, t) = (y^*(x_k) - x_k)a + x_k(t),$$

$$\frac{\partial(H_{x_k} h_k)}{\partial t} = L(0, t)h(0, t) - V(0, t)H(0, t) - W(t)h_k(t) + Q_k,$$

$$\frac{\partial H_{x_k}}{\partial t} = L(0, t) - V(0, t) - W(t), \quad x_k(0) = x_{k,0} \quad (3)$$

и при  $l = 1$

$$\frac{\partial(H_{x_d} x_d)}{\partial t} = V_d y_d - (L_d + D)x_d(t), \quad x_d(0) = x_{d,0},$$

$$V_d(t)y_d(t) - V(1, t)y(1, t) = L_d(t)x_d(t) - L(1, t)x(1, t),$$

$$y_d(t) = y(1, t) + E_d(y^*(x(1, t)) - y(1, t)),$$

$$\frac{\partial(H_{x_d} h_d)}{\partial t} = V_d(t)H_d - (L_d + D)h_d(t) - Q_d,$$

$$\frac{\partial H_{x_d}}{\partial t} = V_d(t) - (L_d(t) + D(t)), \quad V_d - V(1, t) = L_d - L(1, t),$$

$$V_d - V(1, t)H(1, t) = L_d h_d - L(1, t)h(1, t). \quad (4)$$

Решение ищется в области  $\Omega = \{(l, t) | l \in [0, 1], t \in [0, T]\}$ , где  $l, t$  — пространственная и временная независимые переменные соответственно;  $T$  — время управления.

Считаем в дальнейшем, что  $H_x = \text{const}$ ,  $H_y = \text{const}$ ,  $k_y = k = \text{const}$ ,  $H_{x_k} = \text{const}$ ,  $H_{x_d} = \text{const}$ ,  $x = x(l, t)$ ,  $y = y(l, t)$ ,  $L = L(l, t)$ ,  $V = V(l, t)$ ,  $\Phi_H = \Phi_H(l, t)$ ,  $\Phi_h = \Phi_h(l, t)$ ,  $\Phi_V = \Phi_V(l, t)$ ,  $\Phi_L = \Phi_L(l, t)$  — известные функции,  $H = \alpha_1 x + \alpha_2 y + \alpha_3 V + \alpha_4 L$ ,

$h = \beta_1 x + \beta_2 y + \beta_3 V + \beta_4 L$ , где  $\alpha_i = \text{const}$ ,  $\beta_i = \text{const}$ ,  $i = \overline{1, 4}$ . При  $E_d = 0$  полагаем  $y_d = y(1, t)$ ,  $x_d = x(1, t)$ ,  $x_d(0) = x(1, 0) = x_{d0}$ ,  $L_d = L(1, t)$ ,  $V_d = V(1, t)$ .

Кроме того,  $H_y \alpha_1 + H_x \beta_1 = A$ ,  $H_y \alpha_2 + H_x \beta_2 = B$ ,  $H_y \alpha_3 + H_x \beta_3 = C$ ,  $H_y \alpha_4 + H_x \beta_4 = D^0$ .

Последние допущения позволяют представить исходную систему уравнений в нормальной форме:

$$\begin{aligned} x'_t &= \frac{1}{H_x} [Lu_1 + xu_2 + k(y - y^*) + \Phi_x(l)F(t)x_F] \equiv X_1, \\ x'_l &= u_1 = \zeta_1, \\ y'_t &= \frac{1}{H_y} [-Vu_2 - y(u_4 + \Phi_V + \Phi_L) + k(y^* - y)] \equiv X_2, \\ y'_l &= u_2 = \zeta_2, \\ V'_t &= -\frac{1}{C} [AX_1 + BX_2 + u_1(V\alpha_1 - L\beta_1) + u_2(V\alpha_2 - L\beta_2) + u_3 D^0 + \\ &+ (u_4 + \Phi_V + \Phi_L)(H - L\beta_3 + V\alpha_3) + u_4(V\alpha_4 - L\beta_4 - h) + \Phi_h - \Phi_H] \equiv X_3, \\ V'_l &= u_4 + \Phi_V + \Phi_L = \zeta_3, \quad L'_t = u_3 \equiv X_4, \quad L'_l = u_4 = \zeta_4. \end{aligned} \quad (5)$$

Эта система уравнений может описывать различные технологические режимы для разделения многокомпонентных смесей на промышленных объектах. Корректность некоторых таких задач рассмотрена в [1].

Система (5) решается при начальных условиях (2) и краевых условиях (3), (4). Особенность этих уравнений заключается в том, что они разрешимы относительно производных всех зависимых переменных  $x(l, t)$ ,  $y(l, t)$ ,  $V(l, t)$ ,  $L(l, t)$  по независимым переменным  $l$ ,  $t$ . Достигается это путем введения параметрических переменных  $\zeta_i$ ,  $i = \overline{1, 4}$ . Таким образом, исходная система приведена к нормальной форме. В таком виде может быть представлена любая система дифференциальных уравнений в частных производных.

Наличие параметрических переменных — основная особенность уравнений в нормальной форме. В общей записи эти переменные и управления присутствуют формально одинаковым образом, но в каждой конкретной задаче оптимального управления необходимо четко их различать, поскольку они играют принципиально разные роли: если управления могут задаваться произвольно, то значения  $\zeta_i$ ,  $i = \overline{1, 4}$  не задаются, а находятся по известным управлениям в результате решения задачи. Зависимые переменные непрерывны, тогда как параметрические переменные и управления в общем случае — разрывные функции независимых переменных.

Предложенная автором математическая модель используется для описания различных технологических режимов и систем оптимального управления. Корректность соответствующих краевых задач и задач оптимального управления зависит от особенностей моделируемого режима, выбора управляющих и управляемых параметров процесса и от того, полными или парциальными являются куб и дефлегматор.

## 2. Постановка задачи оптимального управления

В качестве управляющих воздействий из технологических соображений выбираем потоки жидкости и пара на входах в управляемый аппарат  $L(1, t)$  и  $V(0, t)$ . На эти управляющие потоки накладываются ограничения

$$L_{\min} \leq L(1, t) \leq L_{\max}, \quad V_{\min} \leq V(0, t) \leq V_{\max}. \quad (6)$$

Поскольку в дальнейшем для решения задачи оптимального управления будет использован метод вариационного исчисления, введем дополнительные управляющие функции  $u(t)$ ,  $z(t)$ , с помощью которых ограничения (6) сводятся к равенствам

$$\begin{aligned} (L(1, t) - L_{\min})(L_{\max} - L(1, t)) - u^2 &= 0, \\ (V(0, t) - V_{\min})(V_{\max} - V(0, t)) - z^2 &= 0. \end{aligned} \quad (7)$$

В качестве критерия оптимизации выбираем интеграл, характеризующий качество продуктов разделения на выходе управляемого объекта:

$$S = \int_0^T \int_0^1 (y(l, t) - \theta^*(l, t))^2 dt \rightarrow \min \quad (8)$$

( $\theta^*(l, t)$  — заданный состав выходного продукта).

Сформулируем следующую задачу: во множестве кусочно-непрерывных функций  $L(1, t)$ ,  $V(0, t)$ , удовлетворяющих ограничениям (6), найти такие, которые в силу системы (1)–(4) минимизируют (8).

### 3. Необходимые условия оптимальности (стационарности) в форме Лагранжа — Эйлера

Для получения необходимых условий оптимальности воспользуемся методами вариационного исчисления. Построим скалярные функции — гамильтонианы  $\tilde{H}$  и  $\tilde{h}$  в области  $\Omega$  и на границе  $\partial\Omega$  соответственно:

$$\tilde{H} = (y - \theta^*)^2 + \sum_{i=1}^4 \lambda_i X_i + \sum_{i=1}^4 \mu_i \zeta_i$$

( $\lambda_i$ ,  $\mu_i$  — множители Лагранжа);

$$\begin{aligned} \tilde{h} &= \frac{\lambda_k^{(1)}}{H_{x_k}} [L(0, t) - V(0, t)y(0, t) - W(t)x_k(t)] + \lambda_k^{(2)} [y(0, t) - x_k - a(y^*(x_k) - x_k)] + \\ &+ \lambda_k^{(3)} [L(0, t) - V(0, t) - W(t)] + \lambda_d^{(1)} \frac{V(1, t)}{H_{x_d}} [y(1, t) - x(1, t)] + \lambda_d^{(2)} [V(1, t) - L(1, t) - D(t)] + \\ &+ \gamma [(L(1, t) - L_{\min})(L_{\max} - L(1, t)) - u^2] + \varepsilon [(V(0, t) - V_{\min})(V_{\max} - V(0, t)) - z^2] \end{aligned}$$

( $\lambda_k^{(i)}$ ,  $\lambda_d^{(i)}$ ,  $\gamma$ ,  $\varepsilon$  — множители Лагранжа).

Положим  $x = z_1$ ,  $y = z_2$ ,  $V = z_3$ ,  $L = z_4$ . Рассмотрим вспомогательный функционал

$$\begin{aligned} J_1 &= \int \int_{\Omega} \left[ (y - \theta^*)^2 + \sum_{i=1}^4 \lambda_i \left( X_i - \frac{\partial z_i}{\partial t} \right) + \sum_{i=1}^4 \left( \zeta_i - \frac{\partial z_i}{\partial l} \right) \right] dl dt = \\ &= \int \int_{\Omega} \left[ \tilde{H} + \sum_{i=1}^4 \left( \frac{\partial \lambda_i}{\partial t} + \frac{\partial \mu_i}{\partial l} \right) z_i \right] dl dt + \int_{\partial\Omega} \sum_{i=1}^4 (\mu_i dt - \lambda_i dl) z_i. \end{aligned}$$

Пусть  $t = \alpha(\sigma)$ ,  $l = \beta(\sigma)$  — параметрическое задание границы  $\partial\Omega$ . Тогда

$$J_1 = \int \int_{\Omega} \left[ \tilde{H} + \sum_{i=1}^4 \left( \frac{\partial \lambda_i}{\partial t} + \frac{\partial \mu_i}{\partial l} \right) z_i \right] dl dt + \int_{\partial\Omega} \sum_{i=1}^4 (\mu_i \alpha'(\sigma) - \lambda_i \beta'(\sigma)) z_i d\sigma.$$

Получим вариацию  $J_1$ , вызванную вариациями управлений  $L(1, t)$  и  $V(0, t)$ :

$$\delta J_1 = \int \int_{\Omega} \left[ \sum_{i=1}^4 \left( \frac{\partial \tilde{H}}{\partial z_i} + \frac{\partial \lambda_i}{\partial t} + \frac{\partial \mu_i}{\partial l} \right) \delta z_i + \sum_{i=1}^4 \frac{\partial \tilde{H}}{\partial u_i} \delta u_i \right] dl dt + \int_{\partial\Omega} \sum_{i=1}^4 (\mu_i \alpha'(\sigma) - \lambda_i \beta'(\sigma)) \delta z_i d\sigma.$$

Вариации для вспомогательного функционала  $\delta J_2$  на границе  $\partial\Omega$  вычисляются аналогично:

$$\begin{aligned} \delta J_2 = \int_{\partial\Omega} & \left[ \frac{\partial \tilde{h}}{\partial x(0, t)} \delta x(0, t) + \frac{\partial \tilde{h}}{\partial y(0, t)} \delta y(0, t) + \frac{\partial \tilde{h}}{\partial L(0, t)} \delta L(0, t) + \frac{\partial \tilde{h}}{\partial V(0, t)} \delta V(0, t) + \frac{\partial \tilde{h}}{\partial u} \delta u + \right. \\ & \left. + \frac{\partial \tilde{h}}{\partial z} \delta z + \frac{\partial \tilde{h}}{\partial y(1, t)} \delta y(1, t) + \frac{\partial \tilde{h}}{\partial L(1, t)} \delta L(1, t) + \frac{\partial \tilde{h}}{\partial V(1, t)} \delta V(1, t) \right] dt + \\ & + \int_{\partial\Omega} \left( \frac{\partial \tilde{h}}{\partial x_k} + \frac{d\lambda_k^{(1)}}{dt} \right) \delta x_k dt + \int_{\partial\Omega} \left( \frac{\partial \tilde{h}}{\partial x(1, t)} + \frac{d\lambda_d^{(1)}}{dt} \right) \delta x(1, t) dt - \left( \lambda_k^{(1)} \delta x_k + \lambda_d^{(1)} \delta x(1, t) \right) |_{t=T}. \end{aligned}$$

Таким образом, вычислена вариация вспомогательного функционала  $\delta J = \delta J_1 + \delta J_2$ .

Используя аргументацию вариационного исчисления, получим следующую сопряженную задачу относительно функций Лагранжа, на основе которой разработан численный алгоритм расчета оптимальных управляющих функций [1–3].

В области  $\Omega$  имеет место

$$\begin{aligned} \frac{\partial \lambda_1}{\partial t} + \frac{\partial \mu_1}{\partial l} &= - \left[ k(y^*)'_x \left( -\frac{\lambda_1}{H_x} + \frac{\lambda_2}{H_y} + \frac{\lambda_3}{C} \left( \frac{A}{H_x} - \frac{B}{H_y} \right) \right) + \right. \\ & \left. + u_4 \left( \frac{\lambda_1}{H_x} - \frac{\lambda_3 A}{H_x C} \right) + \frac{u_4 + \Phi_V + \Phi_L}{C} \alpha_1 - \frac{u_4}{C} \beta_1 \right], \\ \frac{\partial \lambda_2}{\partial t} + \frac{\partial \mu_2}{\partial l} &= - \left[ 2(y - \theta^*) + k \left( \frac{\lambda_1}{H_x} - \frac{\lambda_2}{H_y} - \frac{\lambda_3 A}{H_x C} + \frac{\lambda_3 B}{H_y C} \right) - u_4 \left( \frac{\lambda_2}{H_y} - \frac{\lambda_3 B}{H_y C} \right) - \right. \\ & \left. - \frac{\Phi_V + \Phi_L}{H_y} \left( \lambda_2 - \frac{B}{C} \lambda_3 \right) - \lambda_3 \left( \frac{u_4 + \Phi_V + \Phi_L}{C} \alpha_2 - \frac{u_4}{C} \beta_2 \right) \right], \\ \frac{\partial \lambda_3}{\partial t} + \frac{\partial \mu_3}{\partial l} &= - \left[ u_2 \left( -\frac{\lambda_2}{H_y} + \frac{\lambda_3 B}{H_y C} - \frac{\lambda_3}{C} \alpha_2 \right) - \frac{u_4 \lambda_3 (\alpha_3 + \alpha_4)}{C} - \frac{\lambda_3 \alpha_3}{C} (\Phi_V + \Phi_L) - \right. \\ & \left. - \frac{\lambda_3 u_1 \alpha_1}{C} - \lambda_3 \left( \frac{u_4 + \Phi_V + \Phi_L}{C} \alpha_3 - \frac{u_4}{C} \beta_3 \right) \right], \\ \frac{\partial \lambda_4}{\partial t} + \frac{\partial \mu_4}{\partial l} &= - \left[ \frac{u_1}{H_x} \left( \lambda_1 - \lambda_3 \frac{A}{C} \right) + \frac{\lambda_3}{C} \beta_2 u_2 + \frac{\lambda_3}{C} u_4 (\beta_3 - \beta_4) + \frac{\lambda_3}{C} \beta_3 (\Phi_V + \Phi_L) + \right. \\ & \left. + \frac{\lambda_3}{C} u_1 \beta_1 - \lambda_3 \left( \frac{u_4 + \Phi_V + \Phi_L}{C} \alpha_4 - \frac{u_4}{C} \beta_4 \right) \right]. \end{aligned}$$

В этой системе неизвестные  $\mu_i$  или  $\lambda_i$  ( $i = \overline{1,4}$ ) исключаются с помощью соотношений

$$\begin{aligned}\mu_1 + \frac{\lambda_1}{H_x}L - \frac{\lambda_3}{H_x} \frac{A}{C}L - \frac{V\alpha_1 - L\beta_1}{C}\lambda_3 &= 0, \\ \mu_2 - \frac{\lambda_2 V}{H_y} + \frac{\lambda_3}{H_y} \frac{B}{C}V - \frac{\lambda_3}{C}(V\alpha_2 - L\beta_2) &= 0, \\ \lambda_4 - \frac{\lambda_3}{C}D^0 &= 0, \\ \mu_3 + \mu_4 + \frac{\lambda_1}{H_x}x - \frac{\lambda_2}{H_y}y - \frac{\lambda_3}{C} \left[ \frac{A}{H_x}x - \frac{B}{H_y}y + H - h - L(\beta_3 + \beta_4) + V(\alpha_3 + \alpha_4) \right] &= 0.\end{aligned}$$

Граничные условия  $0 < t < T$  при  $l = 0$  имеют вид

$$\begin{aligned}\frac{d\lambda_k^{(1)}}{dt} - \frac{\lambda_k^{(1)}}{H_{x_k}}W(t) - \lambda_k^{(2)}[1 + a(y^*(x_k)') - 1] &= 0, \\ \mu_1 - \frac{\lambda_k^{(1)}}{H_{x_k}}L(0, t) = 0, \quad \mu_2 - \frac{\lambda_k^{(1)}}{H_{x_k}}V(0, t) + \lambda_k^{(2)} &= 0, \\ \text{grad}S_V \equiv \mu_3 - \frac{\lambda_k^{(1)}}{H_{x_k}}y(0, t) - \lambda_k^{(3)} + \varepsilon(V_{\max} + V_{\min} - 2V(0, t)) &= 0, \\ \mu_4 + \frac{\lambda_k^{(1)}}{H_{x_k}}x(0, t) + \lambda_k^{(3)} &= 0, \\ 2\varepsilon z &= 0;\end{aligned}$$

при  $l = 1$

$$\begin{aligned}\frac{d\lambda_d^{(1)}}{dt} - \frac{\lambda_d^{(1)}}{H_{x_d}}V(1, t) - \mu_1(1, t) = 0, \quad \frac{\lambda_d^{(1)}}{H_{x_d}}V(1, t) - \mu_2(1, t) &= 0, \\ \frac{\lambda_d^{(1)}}{H_{x_d}}(y(1, t) - x(1, t)) + \lambda_d^{(2)} - \mu_3(1, t) &= 0, \\ \text{grad}S_L \equiv -\lambda_d^{(2)} + \gamma(L_{\min} + L_{\max} - 2L(1, t)) - \mu_4(1, t) &= 0, \\ 2\gamma u &= 0.\end{aligned}$$

Начальные условия при  $t = T$ ,  $0 < l < 1$  выглядят так:

$$\lambda_1 = \lambda_2 = \lambda_3 = \lambda_4 = 0, \quad \lambda_k^{(1)}(T) = 0, \quad \lambda_d^{(1)}(T) = 0.$$

Для вычисления оптимальных управляющих функций  $V(0, t)$  и  $L(1, t)$  применяется итерационный метод, который заключается в следующем:

1. Задаются начальные приближения  $V^0(0, t)$  и  $L^0(1, t)$ .
2. Если известны  $V^n(0, t)$  и  $L^n(1, t)$ , то находятся решения прямой и сопряженной задач.
3. Полагаем  $V^{n+1}(0, t) = V^n(0, t) - \tau_1 \text{grad}S_V$ ,  $L^{n+1}(1, t) = L^n(1, t) - \tau_2 \text{grad}S_L$ .
4. Предельные значения  $L(1, t)$  и  $V(0, t)$  дают решение задачи оптимального управления.

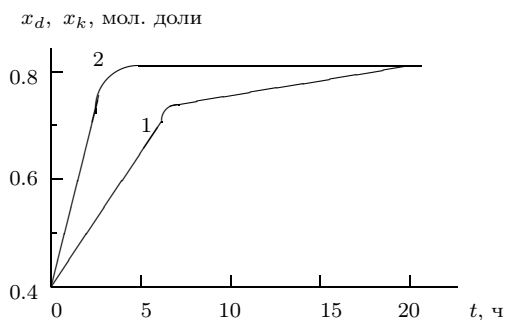


Рис. 2. Концентрация бутана в дефлегматоре в пусковом режиме при управлении  $L(1, t)$ . Кривые 1, 2 — начальное и оптимальное управление соответственно.

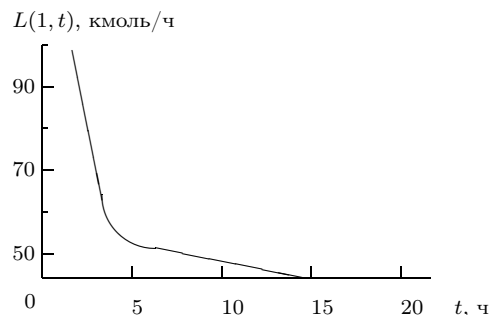


Рис. 3. Оптимальная управляющая функция  $L(1, t)$  в пусковом режиме.

Для численного решения краевых задач и задач оптимального управления разработан численный алгоритм с использованием метода центральных разностей и треугольных сеток [1].

В качестве примера приведены результаты расчетов оптимальной управляющей функции  $L(1, t)$  при оптимизации пускового режима для промышленной колонны К-34 установки сернокислотного алкилирования изобутана бутиленами (разделяемая многокомпонентная смесь сведена к бинарной). На рис. 2 показано изменение концентраций целевого продукта в дефлегматоре в переходном режиме, а на рис. 3 изображена оптимальная управляющая функция  $L(1, t)$ . При оптимальном управлении выход на заданное значение концентрации целевого продукта происходит быстрее, чем при неоптимальном. Подробное описание установки и экспериментальные значения основных параметров процесса приведены в [3].

## Заключение

Разработан метод математического моделирования нестационарных режимов разделения многокомпонентных смесей для исследования и проектирования систем оптимального управления ректификационными колоннами. Метод апробирован на промышленных ректификационных установках. Развитая в работе общая теория и метод анализа нестационарных режимов могут быть применены к широкому классу технологических аппаратов: колоннам ректификации (насадочным и тарельчатым), абсорберам, теплообменникам и др. Предлагаемый метод анализа динамических характеристик объектов с распределенными параметрами прошел экспериментальную проверку. С помощью предложенных вычислительных алгоритмов исследованы возможности оптимизации пусковых режимов, выполнено моделирование перехода от одного стационарного режима работы к другому, стабилизации заданного состава выходных продуктов.

## Список литературы

- [1] Демиденко Н. Д. Моделирование и оптимизация тепломассообменных процессов в химической технологии. М.: Наука, 1991.
- [2] Демиденко Н. Д. Управляемые распределенные системы. Новосибирск: Наука, 1999.



- [3] ДЕМИДЕНКО Н. Д., УШАТИНСКАЯ Н. П. Моделирование, распределенный контроль и управление процессами ректификации. Новосибирск: Наука, 1978.
- [4] DEMIDENKO N. D. Modelling of optimal regimes in chemical engineering objects with interacting flow recirculation // Syst. Anal. Model. Simul. 1987. V. 4. P. 309–320.
- [5] DEMIDENKO N. D. Optimal control of the complicated objects distributed parametres // Syst. Anal. and Simul. 1985. V. 27, No. 1. P. 425–428.
- [6] DEMIDENKO N. D. Problems on optimisation of information measuring systems with distributed parametrs // Syst. Anal. Model. Simul. 1990. V. 11–12. P. 907–920.
- [7] КАФАРОВ В. В., ВЕТОХИН В. Н. Основы построения операционных систем в химической технологии. М.: Наука, 1980.
- [8] ВЫЧИСЛИТЕЛЬНЫЙ эксперимент в проблеме цунами / Ю. И. Шокин, Л. Б. Чубаров, Ан. Г. Марчук, К. В. Симонов. Новосибирск: Наука, 1989.

*Поступила в редакцию 4 мая 2000 г.,  
в переработанном виде — 20 июня 2000 г.*